



MVO32: Lista 01

Students

Matheus Ribeiro Sampaio

Gabriel Fonseca Miranda

Professor:

Antonio Bernado

Aerospace Engineering Departament

ITA

25 de setembro de 2020

Sumário

1	Q01	2
2	Q02	3
3	Q03	4
3.1	Determine o coeficiente de sustentação de equilíbrio, C_{Leq}	4
3.2	Considerando que o CG está localizado em $x_{CG}/\bar{c} = 0,3$, determine a posição do ponto neutro a manche fixo.	4
4	Q04	6
4.1	A posição do ponto neutro a manche fixo, \bar{x}_n , considerando as hipóteses descritas no Exercício 3.	6
4.2	Calcule a deflexão de profundor de equilíbrio	6
5	Q05	7
5.1	Calcule a posição do ponto neutro a manche fixo	7
5.2	Encontre o limite para a posição frontal do centro de gravidade	7
6	Q06	8
7	Q07	9
8	Q8	10
9	Q9	11
10	Q10	12

1 Q01

Para o conjunto asa-fuselagem:

$$C_{m_{CG,wb}} = C_{m_{CA,wb}} + C_{L_{0,wb}}(\bar{x}_{CG} - \bar{x}_{CA,wb}) + C_{L_{\alpha,wb}}(\bar{x}_{CG} - \bar{x}_{CA,wb})\alpha$$

$$C_{m_{CG,wb}} = -0.05 - 0.0035\alpha$$

Portanto,

$$C_{m_{CA,wb}} + C_{L_{0,wb}}(\bar{x}_{CG} - \bar{x}_{CA,wb}) = -0.05$$

$$C_{L_{\alpha,wb}}(\bar{x}_{CG} - \bar{x}_{CA,wb}) = -0.0035$$

Com ambas as equações no MATLAB (código em anexo) e os parâmetros conhecidos, obtemos:

$$C_{m_{CA,wb}} = -0.037$$

$$l_{wb} = \bar{x}_{CA,wb} - \bar{x}_{CG} = 0.05$$

Para a aeronave completa:

$$C_{m_{CG}} = C_{m_{0,CG}} + C_{m_{\alpha,CG}}\alpha + C_{m_{i_t,CG}}i_t$$

$$C_{m_{0,CG}} = C_{m_{CA,wb}} + C_{L_{0,wb}}(\bar{x}_{CG} - \bar{x}_{CA,wb}) + \eta \frac{S_t}{S} \frac{c_t}{\bar{c}} C_{m_{CA,t}} - \eta V_H (C_{L_{0,t}} - C_{L_{\alpha,t}}\epsilon_0)$$

$$C_{m_{\alpha,CG}} = C_{L_{\alpha,wb}}(\bar{x}_{CG} - \bar{x}_{CA,wb}) - \eta V_H \left(C_{L_{\alpha,t}} \left(1 - \frac{\partial \epsilon}{\partial \alpha} \right) \right)$$

$$C_{m_{i_t,CG}} = -\eta V_H C_{L_{\alpha,t}}$$

$$C_{m_{CG}} = 0.15 - 0.025\alpha$$

Portanto,

$$C_{m_{0,CG}} + C_{m_{i_t,CG}}i_t = 0.15$$

$$C_{m_{\alpha,CG}} = -0.025$$

Novamente desenvolvendo ambas as equações, obtemos:

$$S_t = 4.0262 \text{ m}^2$$

$$i_t = -0.0829 \text{ rad} = -4.7496^\circ$$

2 Q02

Inserindo o efeito do profundor:

$$C_{m_{CG}} = C_{m_{0,CG}} + C_{m_{\alpha,CG}}\alpha + C_{m_{\delta_e,CG}}\delta_e = -0.33 - 0.044\alpha + C_{m_{\delta_e,CG}}\delta_e$$

Para o equilíbrio temos que

$$C_{m_{CG}} = -0.33 - 0.044\alpha + C_{m_{\delta_e,CG}}\delta_e = 0$$

Substituindo $C_{m_{\delta_e}} = -\eta V_H \tau C_{L_{\alpha,t}}$ obtemos a equação em função de τ e δ_e .

Fazendo δ_e variar entre os batentes do profundor, encontramos τ , que por sua vez é usado para a obtenção de S_e com a regressão. A figura 1 apresenta o resultado obtido com o MATLAB (código em anexo).

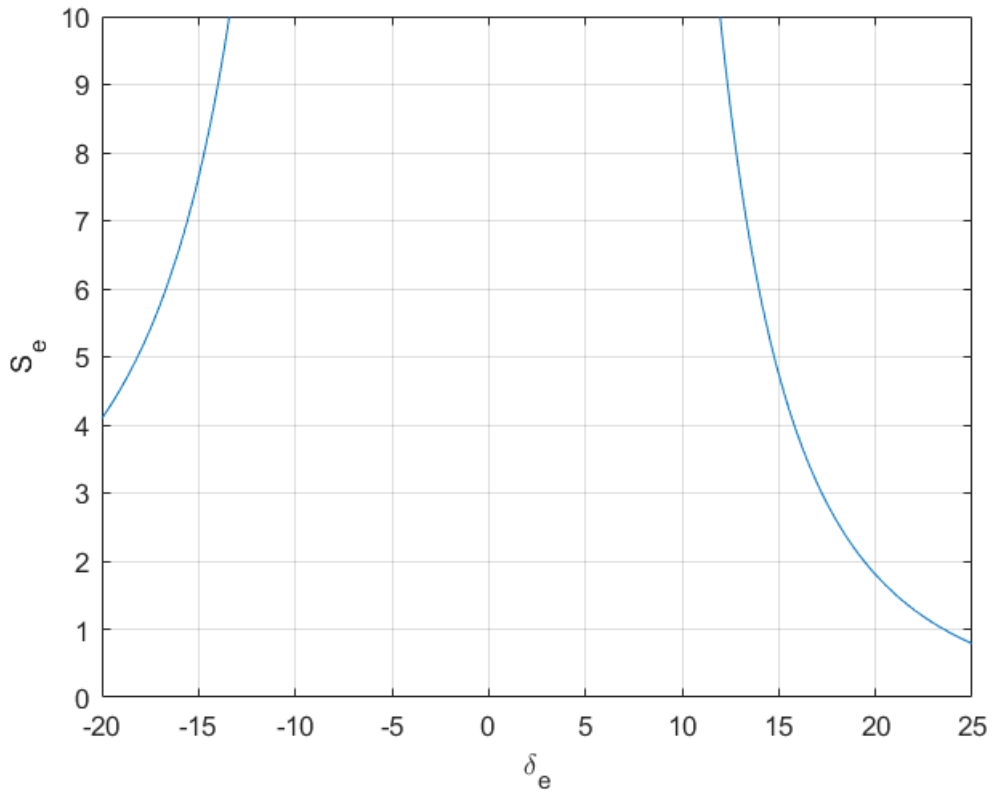


Figura 1: Área de profundor por ângulo de profundor.

Considerando $C_{m_{\delta_e}} \leq 0 \implies \tau \geq 0$ tal como na figura do enunciado, onde se estabelece uma função injetora. Observamos que para tal condição ser satisfeita, devemos ter $\delta_e \leq 0$. Dessa forma, obtemos o resultado:

$$\boxed{S_e = 4.094 \text{ m}^2} \text{ para } \delta_e = -20^\circ$$

3 Q03

3.1 Determine o coeficiente de sustentação de equilíbrio, C_{Leq}

Do enunciado temos o coeficiente angular da curva dado pela equação 1. Integrando a equação e aplicando a condição de contorno para C_L nulo temos a equação do momento de arfagem por C_L conforme a equação 3.

$$\frac{dC_{mCG}}{dC_L} = -0,15 \quad (1)$$

$$\begin{aligned} C_{mCG} &= -0,15C_L + c \\ cc : C_L = 0 &\rightarrow C_{mCG} = 0,08 \end{aligned} \quad (2)$$

Assim,

$$C_{mCG} = -0,15C_L + 0,08 \quad (3)$$

Por fim, temos que para o equilíbrio devemos ter o $C_L = 0,533$.

3.2 Considerando que o CG está localizado em $x_{CG}/\bar{c} = 0,3$, determine a posição do ponto neutro a manche fixo.

Transferindo o momento de arfagem do PN para o CG temos a equação 4.

$$C_{mCG} = -\Delta_X \cdot C_L + C_{mPN} \quad (4)$$

Sendo C_{mCG} e C_{mPN} os momentos de arfagem no CG e PN e Δ_X a distância do PN ao CG. Assim derivando a equação 4 por C_L temos a equação 5.

$$\frac{dC_{mCG}}{dC_L} = \frac{C_{m\alpha CG}}{C_{L\alpha}} = -\Delta_X + \frac{dC_{mPN}}{d\alpha} \cdot \frac{1}{C_{L\alpha}} \quad (5)$$

Como por definição a derivada do momento de arfagem no ponto neutro é nula para a variação de α temos a equação 6.

$$\frac{dC_{mCG}}{dC_L} = -\Delta_X = -0,15 \quad (6)$$

Assim temos a posição do PN sendo $x_{PN}/\bar{c}= 0,45$.

4 Q04

4.1 A posição do ponto neutro a manche fixo, \bar{x}_n , considerando as hipóteses descritas no Exercício 3.

Analogamente ao exercício 03 sabemos que a derivada do momento de arfagem no CG com relação ao CL é igual ao valor negativo da distância entre o PN e CG, conforme a equação 7. A derivada da equação de C_{mCG} por C_L é -0.15 e igualando temos a equação 7.

$$\frac{dC_{mCG}}{dC_L} = -\Delta_X = -0.15 \quad (7)$$

Assim temos a posição do PN sendo $x_{PN}/\bar{c} = 0,40$.

4.2 Calcule a deflexão de profundor de equilíbrio

O C_L pode ser calculado igualando a força de sustentação conforme a equação 8.

$$\begin{aligned} W &= \frac{1}{2} \rho V^2 C_L S \\ \therefore C_L &= \frac{2W}{\rho S V^2} \\ C_L &= \frac{2 \cdot 1247,4 \cdot 9,8}{1,225 \cdot 16,72 \cdot 38,1^2} \\ &\rightarrow = 0,822 \end{aligned} \quad (8)$$

Substituindo o $C_L = 0,822$ na equação de C_{mCG} por C_L temos $\delta_e = -11,44^\circ$

5 Q05

5.1 Calcule a posição do ponto neutro a manche fixo

Analogamente ao exercício 03 sabemos que a derivada do momento de arfagem no CG com relação ao CL é igual ao valor negativo da distância entre o PN e CG, conforme a equação 9.

$$\frac{dC_{mCG}}{dC_L} = -\Delta_X \quad (9)$$

Aplicando a regra da cadeia temos a equação 10. Sendo $\frac{dC_{mCG}}{d\alpha} = -0.012$ e $\frac{d\alpha}{dC_L} = \frac{1}{0,08}$.

$$\begin{aligned} \frac{dC_{mCG}}{dC_L} &= \frac{\frac{dC_{mCG}}{d\alpha}}{\frac{dC_L}{d\alpha}} \\ &= \frac{-0.012}{0.08} = -0.15 \end{aligned} \quad (10)$$

Assim temos a posição do PN sendo $x_{PN}/\bar{c} = 0,40$.

5.2 Encontre o limite para a posição frontal do centro de gravidade

Para o CG na posição original temos um coeficiente de momento de arfagem na eminência de estol dado pela equação 11. Já para um CG na posição Δ_X mais para frente temos a equação 12.

$$C_{mCG}^0 = -0,3 - 0,029(\delta_e - 10) \quad (11)$$

$$C_{mCG} = C_{mCG}^0 - \Delta_X \cdot C_L = -0,3 - 0,029(\delta_e - 10) - \Delta_X \cdot 1,23 \quad (12)$$

assim temos,

$$\begin{aligned} \Delta_X &= \frac{-0,3 - 0,029(\delta_e - 10)}{1,23} \\ &= 0,345 \quad p/ : \delta_e = -15 \end{aligned} \quad (13)$$

Assim podemos ter um CG até a posição $x_{CG}/\bar{c} = -0,095$.

6 Q06

a)

$$C_{m_{CG}} = 0.4 - 0.25C_L - 0.0375(\delta_e + 8)$$

Derivando em relação a α :

$$C_{m_{\alpha,CG}} = -0.25C_{L\alpha}$$

Portanto:

$$-\frac{C_{m_{\alpha,CG}}}{C_{L\alpha}} = K_n = 0.25$$

$$K_n = \bar{x}_n - \bar{x}_{CG} = 0.25$$

$$\bar{x}_n = 0.25 + \bar{x}_{CG} = 0.25 + 0.25 = 0.5$$

$$\boxed{\bar{x}_n = 0.5}$$

$$x_n = \bar{c} \cdot \bar{x}_n = 5 \cdot 0.5 = 2.5 \text{ ft}$$

$$\boxed{x_n = 2.5 \text{ ft}}$$

b)

No equilíbrio:

$$C_L = \frac{2W}{\rho_0 V^2 S} = \frac{2 \cdot 1134 \cdot 9.81}{1.225 \cdot 45.72^2 \cdot 13.94} = 0.6233$$

Substituindo na fórmula do enunciado e admitindo que haja o equilíbrio:

$$C_{m_{CG}} = 0.4 - 0.25 \cdot 0.6233 - 0.0375(\delta_e + 8) = 0$$

Dessa forma, obtemos:

$$\boxed{\delta_e = -1.49^\circ}$$

7 Q07

Obteve-se os valores de ângulo de ataque para os 3 primeiros encontros das curvas de momento conforme a figura 2. Os valores foram $i_t = 1$ com $\alpha_w = 1,96$, $i_t = 0$ com $\alpha_w = 3,17$ e $i_t = -1$ com $\alpha_w = 4,54$.

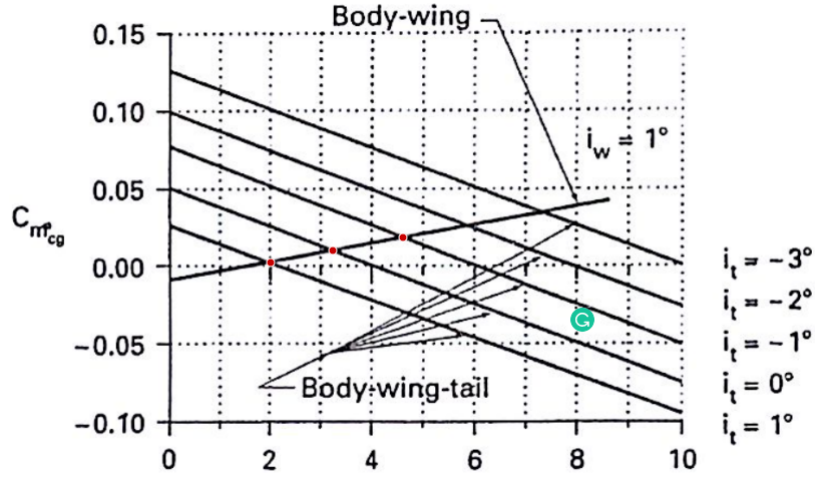


Figura 2: Pontos utilizados

Como o perfil da cauda é simétrico e planar temos que o encontro das curvas representa ângulo de ataque efetivo nulo na cauda. Assim temos o sistema 14.

$$\begin{aligned}
 \alpha_t &= \alpha + i_t + \epsilon \\
 0 &= 0,96 + 1 - \epsilon_{(0,96)} \\
 0 &= 2,17 + 0 - \epsilon_{(2,17)} \\
 0 &= 3,54 + -1 - \epsilon_{(3,54)}
 \end{aligned} \tag{14}$$

assim,

$$\begin{aligned}
 \epsilon_{(0,96)} &= +1,96 \\
 \epsilon_{(2,17)} &= +2,17 \\
 \epsilon_{(3,54)} &= +2,54
 \end{aligned} \tag{15}$$

Fitando a curva no MATLAB temos $\epsilon = 1,72 + 0,226 \cdot \alpha$.

8 Q8

Inicialmente, obtemos C_{L_α}

$$C_{L_\alpha} = C_{L_{\alpha,wb}} + \eta \frac{S_t}{S} C_{L_{\alpha,t}} \left(1 - \frac{\partial \epsilon}{\partial \alpha} \right)$$

Dessa forma, substituímos os parâmetros conhecidos para se obter a posição do ponto neutro:

$$\bar{x}_n = \bar{x}_{CA,wb} + \eta \bar{V}_H \left(1 - \frac{\partial \epsilon}{\partial \alpha} \right) \frac{C_{L_{\alpha,t}}}{C_{L_\alpha}}$$

As substituições foram realizadas no MATLAB (código em anexo), e obtemos:

$\bar{x}_n = 0.4175$

9 Q9

Com a regressão linear e o valor S_e/S_t , obtemos a raiz real e positiva $\tau = 0.5587$, com o MATLAB (código em anexo).

Analogamente, a questão anterior, podemos obter a posição do ponto neutro:

$$\bar{x}'_n = \bar{x}_{CA,wb} + \frac{f}{F} \eta \bar{V}_H \left(1 - \frac{\partial \epsilon}{\partial \alpha} \right) \frac{C_{L\alpha,t}}{C_{L\alpha}}$$

Neste caso, observa-se na formulação termos adicionais f e F , que podem ser expressos por:

$$f = 1 - \frac{\partial C_{L_t}}{\partial \delta_e} \frac{1}{C_{L\alpha,t}} \frac{C_{he\alpha_t}}{C_{he\delta_e}}$$

$$F = 1 - \frac{C_{L\delta_e}}{C_{L\alpha}} \frac{C_{he\alpha_t}}{C_{he\delta_e}} \left(1 - \frac{\partial \epsilon}{\partial \alpha} \right)$$

Obtemos $C_{L\alpha}$ como na questão anterior, e neste caso obtemos também:

$$C_{L\delta_e} = \eta \frac{S_t}{S} \frac{\partial C_{L_t}}{\partial \delta_e}$$

$$\frac{\partial C_{L_t}}{\partial \delta_e} = \tau C_{L\alpha,t} \text{ (como descrito pelo enunciado)}$$

Dessa forma, obtemos todos os parâmetros para cálculo de f e F , e em sequência o cálculo de \bar{x}'_n . Efetuando as devidas substituições no MATLAB (código em anexo), obtemos:

$$\boxed{\bar{x}'_n = 0.3518} \text{ para } \tau = 0.5587$$

10 Q10

Obtemos os valores de C_L , admitindo o equilíbrio:

$$C_L = \frac{2W}{\rho V^2 S} = \frac{2W}{\rho_0 V_E^2 S}$$

Os ajustes, gráficos e resultado foram obtidos com o MATLAB (código em anexo). Dessa forma, obtemos as curvas $i_t \times C_L$ da figura 3, na qual cada posição x_{CG} correspondendo à aproximadamente uma reta.

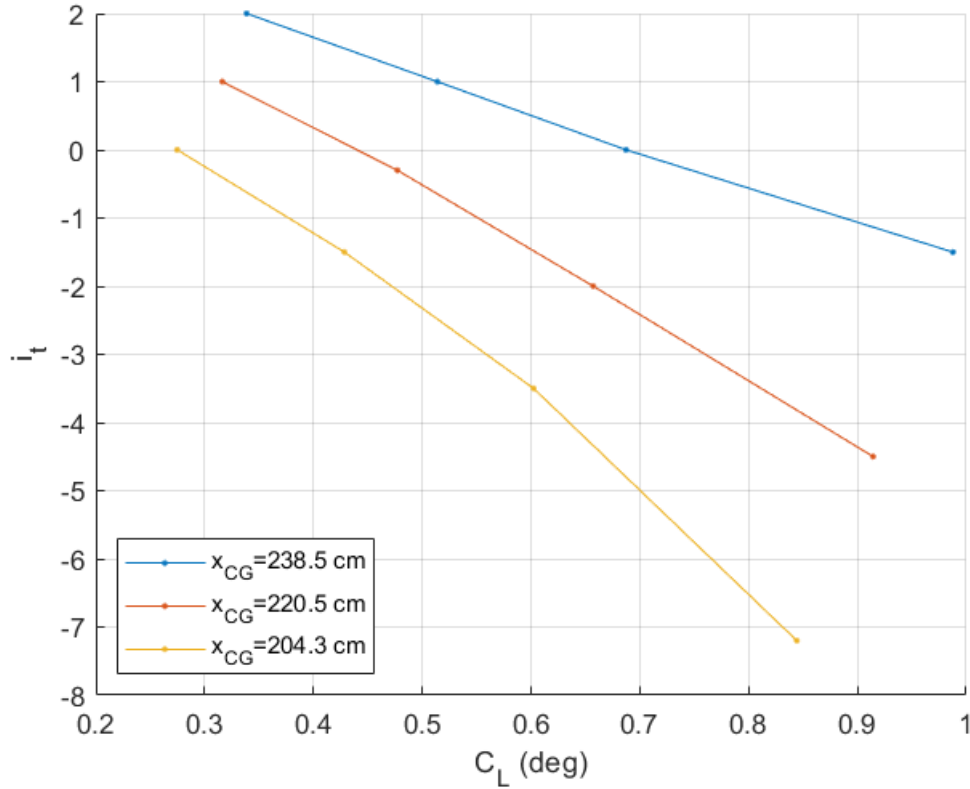


Figura 3: $i_t \times C_L$

Foram determinados os coeficientes angulares de cada reta ajustada correspondendo ao valor de $\frac{\partial i_t}{\partial C_L}$, para cada valor de posição x_{CG} . Dessa forma, foi obtida o gráfico da figura 4.

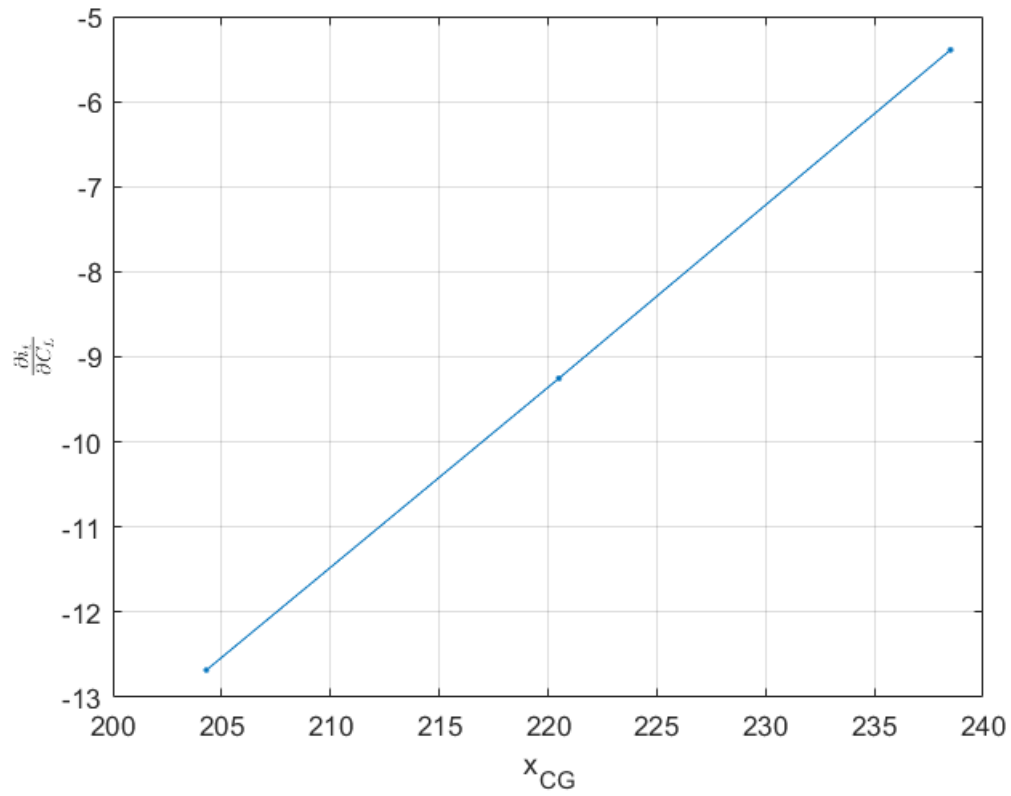


Figura 4: $\frac{\partial i_t}{\partial C_L} \times x_{CG}$

O ponto CG coincide com o ponto neutro quando $\frac{\partial i_t}{\partial C_L} = 0$. Dessa forma, fazendo o ajuste linear do gráfico 4 e prolongando-o, obtemos o ponto desejado:

$$\bar{x}_n = 263.8414 \text{ cm}$$